НЕКОТОРЫЕ ВОЗМОЖНОСТИ УВЕЛИЧЕНИЯ ОТДАЧИ ТЕПЛОВЫХ УСТАНОВОК

Г. И. ФУКС

1

Из всех предложений, которые были сделаны за последние годы с целью увеличения отдачи тепловых установок, особенное внимание заслуживает установка Велокс. Анализ работы паросиловой установки [3] показывает, что наиболее уязвимым местом в цепи превращения энергии является паровой котел, несмотря на его высокий КПД. Котел Велокс, кроме резкого сокращения размеров установки и прочих общеизвестных преимуществ, интересен как первая удачная попытка воздействия на процесс горения в топке. Дело не в высоком КПД котельной установки Велокс. Если этот КПД покупается за счет добавочной мощности, подводимой для сжатия воздуха, то это даст не повышение, а понижение общей отдачи установки [4]. Но когда компрессорно-турбинная группа начнет выдавать работу, получается увеличение экономического КПД установки при обычных значениях КПД котельной части. Современные достижения в области газовых турбин делают этот путь достаточно реальным.

Но установки Велокс требуют применения особого, вообще говоря, дефицитного топлива. Нам неизвестно ни одной установки этого типа, рассчитанной на пылевидное топливо, а тем более—на сжигание топлива

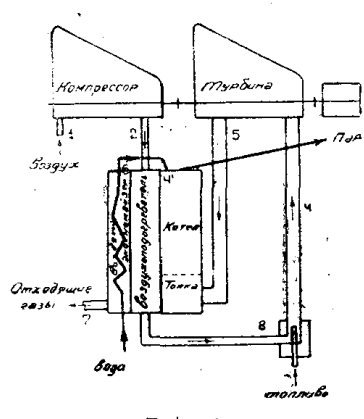


Рис. 1

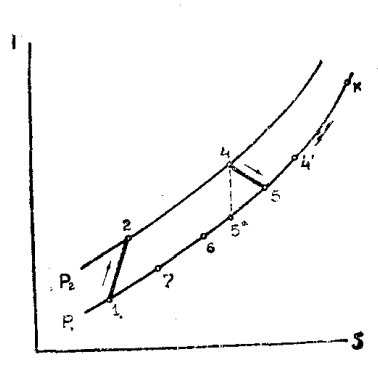


Рис. 2

в слоевом процессе. Работа котла с сверхдавлением в газовой части также не всегда желательна, поэтому представляется целесообразным такое видоизменение установки Велокс, которое позволило бы использовать ее термические преимущества в соединении с обычными паросиловыми установками.

Схема такой установки приведена на рис. 1, а процесс в тепловых (TS) координатах на рис. 2. Компрессор сжимает воздух до давления p_2 , процесс 1-2. Сжатый воздух проходит через воздухоподогреватель, работающий за счет тепла отходящих газов котельной установки, нагревается до состояния 4, процесс 2-4, и поступает в турбину. После турбины воздух поступает в топку котла (состояние 5). На котельных поверхностях идет охлаждение продуктов сгорания от K до 4', в воздухоподогревателе газы охлаждаются в процессе 4'-6, а затем направляются в водяной экономайзер, где идет процесс 6-7.

Здесь ставится задача оценки относительной выгодности рассмотренной схемы, поэтому расчеты проведены с некоторыми упрощениями. Так, пренебрегается влиянием изменения химсостава в процессе горения на энтальпию нм³, присосами воздуха в котельной установке и т. п. малосущественными величинами. При этих условиях работа, снимаемая в данной установке с нм³ воздуха, будет

$$AL = AL_m + \eta_{te}^n \left[(i_{\kappa} - i_4) + (i_6 - i_7) - \Sigma \pi_{\kappa} \right]. \tag{1}$$

Приняты обозначения:

 AL_m —избыточная работа компрессорно-турбинной группы, равная разности эффективных работ турбины и компрессора на $\mathit{нм}^3$ воздуха

$$AL_m = AL_{me} - AL_{\kappa e}, \tag{2}$$

ти — термический эффективный КПД паровой части.

Выражение в квадратных скобках представляет собою тепло, переданное пару и воде (на μM^3 воздуха), i_κ —теоретическое значение энтальпии воздуха (газа) после горения, $\Sigma \pi_\kappa$ —сумма потерь котельной части в внешнюю среду.

Но по рис. 2

$$(i_{\kappa}-i'_{4})+(i_{6}-i_{7})=(i_{\kappa}-i_{7})-(i'_{4}-i_{6}).$$
 (a)

Если тепловыделение на μM^3 воздуха будет $q \frac{\kappa \kappa \alpha \Lambda}{\mu M^3}$ и КПД топки q_m , то

$$i_{\kappa} = i_5 + \eta_m q. \tag{B}$$

Тепловой баланс воздухоподогревателя

$$i'_4 - i_6 = i_4 - i_2,$$
 (c)

следовательно,

$$(i_{\kappa}-i'_{4})+(i_{6}-i_{7})-\Sigma\pi_{\kappa}=\eta_{m}q-\Sigma\pi_{\kappa}-(i_{7}-i_{1})-(i_{4}-i_{2})+(i_{5}-i_{1}).$$
 (3)

Величина

$$\eta_m q - \Sigma \pi_\kappa - (i_7 - i_1)$$

представляет собою использованное тепло котельной установки,

$$\eta_m q - \Sigma \pi_\kappa - (i_7 - i_1) = \eta_{\kappa y} q. \tag{4}$$

Величина

$$(i_4-i_2)-(i_5-i_1)$$

согласно рис. 2 представляет собою разность подвода и отвода тепла в компрессорно-турбинной группе. Она равна разности внутренних работ турбины и компрессора

$$(i_4 - i_2) - (i_5 - i_1) = AL_{mi} - AL_{\kappa i}.$$
 (d)

Ho

$$AL_{me} = AL_{mi}\eta_{mm} , \qquad (e)$$

$$AL_{ke} = \frac{AL_{ki}}{\eta_{MK}},\tag{f}$$

где η_{Mm} и η_{MK} —механические КПД турбины и компрессора соответственно. Удобно также ввести отношение работ (эффективных мощностей) компрессора и турбины

$$w = \frac{AL_{ke}}{AL_{me}} \,. \tag{g}$$

Тогда

$$(i_4 - i_2) - (i_5 - i_1) = \frac{AL_m}{1 - w} \left(\frac{1}{\tau_{1Mm}} - w \eta_{MK} \right).$$
 (5)

Из (1), с учетом (3), (4) и (5), получим

$$AL = \gamma_{lky}\gamma_{lte}^{n}q + AL_{m} \left[1 - \frac{\gamma_{lte}^{n} \left(\frac{1}{\gamma_{l,mm}} - w\gamma_{l,mk} \right)}{1 - w} \right]. \tag{6}$$

В обычной паросиловой установке величина работы на нм³ воздуха будет

$$AL' = \eta_w^n \ q = \eta_{kv} \eta_{le}^n \ q \tag{2}$$

Введение компрессорно-турбинной группы принесет выгоду в том случае, если второй член правой части (6) будет положительным. Для этого необходимо соблюдение 2 условий:

$$AL_m > 0,$$
 (7)

$$1 - \frac{\eta_{lc}^n \left(\frac{1}{\eta_{Mm}} - \mathbf{w} \eta_{Mk}\right)}{1 - \mathbf{w}} > 0.$$
 (8)

Из соотношений (2) и (q) имеем

$$AL_m = AL_{me}(1-w) \tag{9}$$

Турбина всегда выдает работу

$$AL_{me} > 0$$
,

поэтому условие (7) дает

$$1 > w > 0. \tag{i}$$

Из условия (8) после несложных преобразований можно получить

$$w < \frac{1 - \frac{\eta_{te}^n}{\eta_{mm}}}{1 - \frac{\eta_{te}^n \eta_{mk}}{\eta_{te}}}.$$
 (10)

Так как η_{le}^n и η_{um} всегда представляют собою правильные дроби, то величина w также будет правильною дробью, поэтому условие (i) является лишним. Остается одно условие (10), соблюдение которого необходимо и

достаточно, чтобы добавка компрессорнотурбинной группы принесла повышение экономического КПД паросиловой установки.

На рис. З даны результаты подсчетов предельных значений отношений эффективных мощностей компрессора и турбины для двух значений механического КПД. Из рисунка очевидно, что даже при низком для ротационных машин механическом КПД

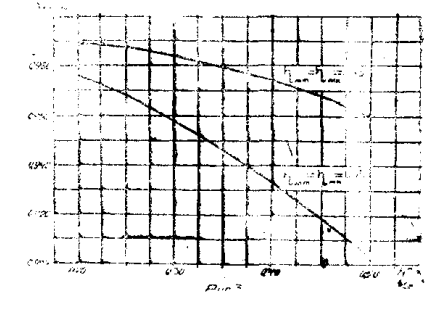


Рис. 3

$$\eta_{Mm} = \eta_{MK} = 0.95$$

и высоких значениях η_{te} работа сжатия должна быть менее 90% работы турбины. Не представляет труда осуществить установку с относительной затратой работы на сжатие в 75—82% [5]. На основании (6) и (10) это обозначает, что добавка компрессорно-турбинной группы должна практически вести к увеличению экономического КПД установки.

Прежде чем перейти к оценке выгоды, которая получается от введения в установку компрессорно-турбинной группы, остановимся на условиях работы последней. Из соотношения (6) ясно, что добавка в работе, получаемая от введения компрессорно-турбинной группы при заданных условиях работы паровой части, зависит не только от работы AL_m , но и от соотношений работ компрессора и турбины w, механической степени совершенства η_{nm} и η_{nk} и абсолютного значения термического КПД η_{le}^n . Величины AL_m и w определяются условиями температур и давлений, в которых работает компрессорно-турбинная группа. Действительно, эффективную работу на nm^3 в турбине и компрессоре можно подсчитать так:

$$AL_{em} = c_{\sigma}T_{4} \left[1 - \left(\frac{p_{1}}{p_{2}} \right)^{\frac{\kappa-1}{\kappa}} \right] \eta_{oe}^{m}, \tag{11}$$

$$AL_{e\kappa} = \frac{c_p T_1}{\eta_{ab}} \left[\left(-\frac{p_2}{p_1} - \right)^{\frac{\kappa - l}{\kappa}} - 1 \right]$$
 (12)

Здесь обозначено:

$$c_p$$
 — теплоемкость воздуха в $\frac{\kappa \kappa a \Lambda}{\mu_M^3 cpad}$,

 τ_{loe}^m — относительный эффективный КПД турбины,

т_{іат} — адиабатический КПД компрессора,

k — показатель адиабаты. В расчете принято $\kappa = 1.40$.

Вводя обозначение

$$\left(-\frac{p_2}{p_1}-\right)^{\frac{\kappa-1}{\kappa}}=x,\tag{a}$$

минличим

$$AL_{em} = c_p T_4 \frac{x-1}{x} \eta_{oe}^m, \qquad (13)$$

$$AL_{e\kappa} = \frac{c_p T_1}{\eta_{ao}} (x-1), \tag{14}$$

$$w = \frac{AL_{en}}{AL_{em}} = \frac{T_1 x}{T_1 \eta_{oe}^m \eta_{a\bar{o}}}$$
 (15)

На основе этого, с учетом (2) составляется из (6) функция U, имеющая максимальное значение при том же x, что и значение AL

$$U = (x-1) \left(\frac{T_4 \eta_{oe}^m}{x} - \frac{T_1}{\eta_{a\partial}} \right) \left(1 - \eta_{te}^n \frac{\frac{1}{\eta_{\mu m}} \frac{T_1 x}{T_4 \eta_{oe}^m \eta_{a\partial} \eta_{\mu \kappa}}}{1 - \frac{T_1 x}{T_4 \eta_{oe}^m \eta_{a\partial}}} \right). \tag{16}$$

Условие максимума этой функции

$$-\frac{du}{dx} = 0$$

дает

$$x = \sqrt{\frac{T_4}{T_1}} \frac{1 - \frac{\eta_{te}^n}{\eta_{um}}}{1 - \eta_{te}^m \gamma_{luk}}$$

$$(17)$$

На рис. 4 и 5 приведены результаты подсчетов наивыгодиейших отношений давлений $\frac{p_2}{p_1}$ по (17) и (a) и соответствующих им величин w по

(15) для разных η_{le}^n при различной степени совершенства компрессорнотурбинной группы. Во всех случаях наивыгоднейшее соотношение давлежий лежит в пределах 1.8—3.0, что нетрудно получить в аксиальном жомпрессоре и легко используется в турбинах с небольшим числом сту-

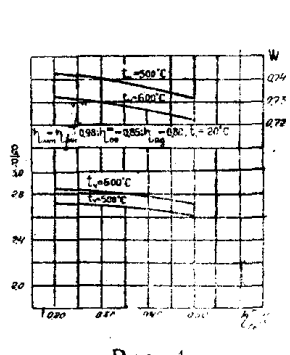


Рис. 4

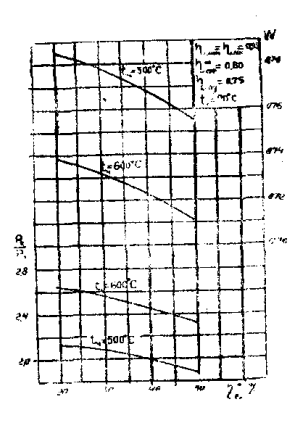


Рис. 5

пеней. Так, проф. Стодола [5] приводит данные испытания газовой турбины, работавшей газами с t=490-550°C, причем значения относительных КПД оказались

$$\eta_{oe}^m = 0.884,$$
 $\eta_{ad} = 0.846 - 0.849,$

«отношение мощн**остей**

$$w = 0.74 - 0.78$$
.

Турбина и компрессор имели небольшое количество ступеней. При низких показателях, которые положены для сравнительного подсчета на рис. 5, величина w не превышает $78^{\circ}/_{0}$ при самых малых значениях η_{te}^{n} .

3

Конкретное представление о выгодности установки по приведенной схеме и условиях ее работы можно получить, подсчитав по (6) AL и КПД установки по общему соотношению

$$\eta = \frac{AL}{q}.\tag{a}$$

Каждый раз при этом выбирается наивыгоднейшее для данного случам отношение давлений компрессорно-турбинной группы. Работа последней AL_m по приведенному выше соотношению (2) будет

$$AL_{m} = AL_{me} - AL_{\kappa e}. \tag{2}$$

Для эффективной работы турбины имеем

$$AL_{me} = (i_4 - i_{5a}) \gamma_{loe}^m , \qquad (b)$$

где i_{5a} —энтальпия воздуха на 1 нм³ в конце адиабатического расширения 4 — 5а (рис. 2).

 H_{0}

$$i_{4} - i_{5a} = i_{4} \left(1 - \frac{i_{5a}}{i_{4}} \right) \approx i_{4} \left(1 - \frac{t_{5a}}{t_{4}} \right) = -\frac{i_{4}}{t_{4}} - (t_{4} - t_{5a}) = \\
 = -\frac{i_{4}}{t_{4}} - (T_{4} - T_{5a}) = \frac{i_{4}}{t_{4}} - T_{4} \left(1 - \frac{T_{5a}}{T_{4}} \right).$$

По уравнению адиабаты

$$\frac{T_{5a}}{T_4} = \left(-\frac{p_1}{p_2}\right)^{\kappa-1} = \frac{1}{x}.$$

следовательно,

$$AL_{me} = \frac{i_4}{t_1} T_4 \frac{x-1}{x} \eta_{oe}^m.$$

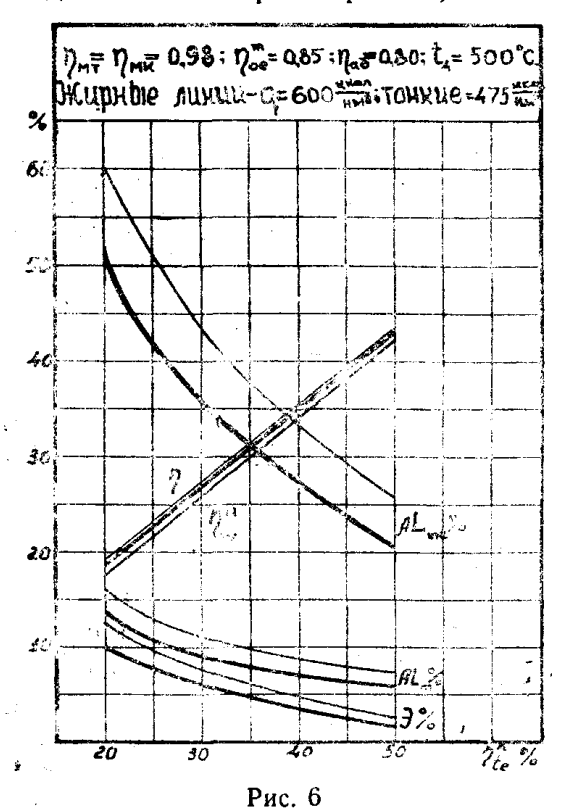
Аналогично для работы компрессора

$$AL_{e\kappa} = \frac{i_1}{t_1} \frac{T_1}{\eta_{a\sigma}} (x - 1) \tag{19}$$

и по (2)

$$AL_{m} = \left(\frac{i_{4}}{t_{4}} - \frac{T_{4}}{x} \eta_{oe}^{m} - \frac{i_{1}}{t_{1}} - \frac{T}{\eta_{a\theta}}\right)(x-1)$$
 (20)

Результаты соответственных подсчетов даны на рис. 6, 7, 8 и 9. Рис. 6 сводит данные при хорошей, но достижимой отдаче компрессорно тур-



бинной группы и температуре перед турбиной $t_4 = 500^{\circ}$ С. Для сравнения взяты 2 тепловыделения на $\mu_{M^3} = 600 \frac{\kappa \kappa a \Lambda}{\mu_{M^3}}$ и 475 $\frac{\kappa \kappa a \Lambda}{\mu_{M^3}}$, что охватывает достаточный диапазон топлив и избытков воздуха. Подсчитаны абсолютные значения экономического КПД установки τ_{K} экономия в расходе топлив по соотношению

$$\partial = \frac{\gamma_l - \gamma_{lw}^n}{\gamma_l},$$

а также % работы, выдаваемой компрессорно-турбинной группой AL %, и работа турбины в % от общей AL_{mc} %.

Непосредственно видно, что добавка к обычной паросиловой установке компрессорно-турбинной группы увеличивает общий КПД установки. Это увеличение больше при малом тепловыделении на нм³, когда доля работы, выдаваемой

компрессорно-турбинной установкой, растет.

Обычно паросиловые установки работают с экономическим КПД порядка 20-35%, чему в расчетах соответствует $\eta_{te}^n-25-40\%$. При этом

экономия в расходе топлива составит 9—4%. Компрессорно турбинная труппа выдает 13—7% от общей работы установки. Работа турбины составляет 51—26% от общей группы работы установки. При этом проточная часть турбины будет иметь достаточные размеры, что обеспечит ее достаточно высокий внутренний относительный КПД.

Рис. 7 дает сводку результатов подсчетов при более высокой температуре перед турбиной

$$t_{4} = 600^{\circ}C_{1}$$

Показатели установки явно улучшаются. Экономия в топливе доходит до 13—6%. Но ясно, что это получается за счет долговечности установки. Так, стенки воздухоподогревателя при этом будут иметь на горячем конце температуры порядка 650°С.

Для сравнения на рис. 8 и 9 приведены результаты аналогичных подсчетов при значительно худших показателях компрессорно-турбинной группы (данные надписаны на рисунке). Экономия в расходе топлива при этом снижается до 5-2% при температуре 500° С перед турбиной и до $9-4^{3}/_{0}$ при 600° С. Таким образом, степень совершенства компрессорно-

турбинной группы имеет большое значение. Однако, снижение совершенства компрессорнотурбинной группы сказывается на отдаче всей установки не так сильно, как в случае газовой

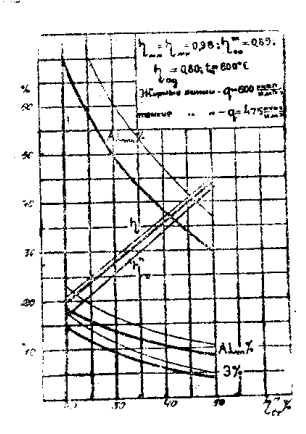


Рис. 7

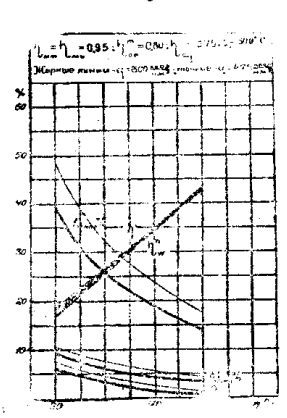


Рис. 8

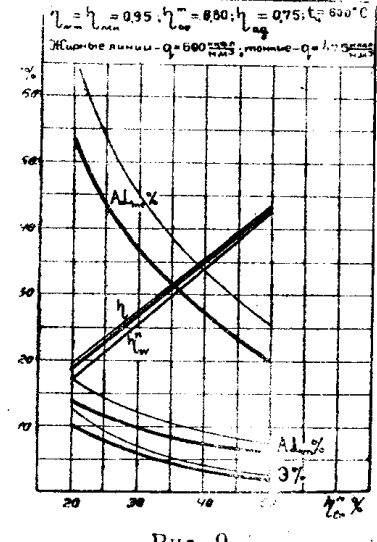
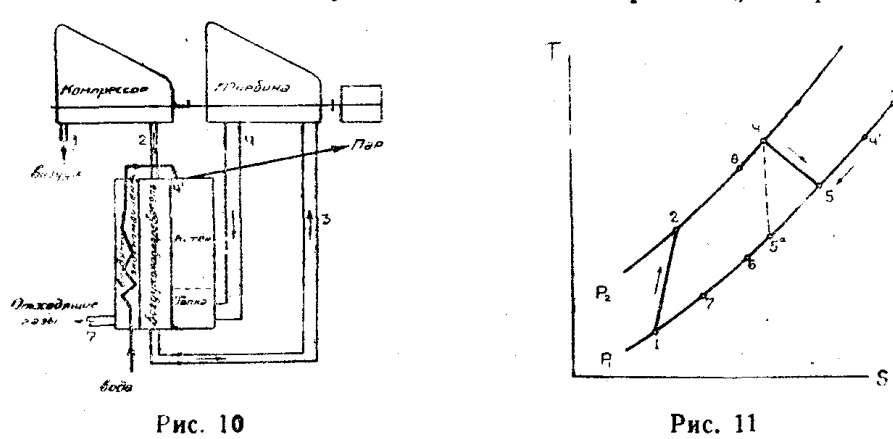


Рис. 9

турбины. Причина этого очевидна: потери компрессорно-турбинной установки, за исключением механических, переходят в теплоту и частично используются в паровой части.

В целом можно считать установленным, что паросиловая установка с компрессорно турбинной группы по схеме рис. 1, не изменяя работы паровой части, может дать экономию в топливе порядка 13—5%. Такая же экономия будет получаться в установке Велокс, которая принципиально отличается от схемы рис. 1 тем, что через турбину проходит не воздух, а продукты сгорания. Установка Велокс будет иметь то преимущество, что в ней легче реализовать более высокие температуры перед турбиной. Поэтому там, где позволяет топливо и прочие условия, лучше так и выполнять установку. Но установка по схеме рис. 1 обладает тем преимуществом, что позволяет применение любой паровой части и любого топлива в ней. С другой стороны, в указанной схеме неизбежно имеется высокая температура воздуха при входе в топку (порядка 400—460°С), что вногда может создать затруднения при конструировании топки.

Повышение температуры воздуха перед турбиной от 500°С до 600°С увеличивает экономию в расходе топлива от 9—4% до 13—6%. При этом воздухоподогреватель становится в тяжелые условия, так как температуря металла на горячем его конце должна дойти до 650°С. Но достаточно высокая температура перед турбиной может быть получена иным путем сжиганием в сжатом воздухе некоторого количества топлива. Для этого должно быть в распоряжении небольшое количество жидкого или газообразного топлива, которое можно сжечь в камере горения перед газовой турбиной. Схема такой установки дана на рис. 10, а процесс в теп-



ловых (TS) координатах—на рис. 11. После подогрева сжатого в компрессоре воздуха (процесс 2-8) температура газа повышается до t_4 за счет сжигания топлива.

Для данного случая, как и для предыдущего,

$$AL = AL_m + \eta_{te}^n [(i_\kappa - i_4') + (i_6 - i_7) - \Sigma \pi_\kappa].$$
 (1)

Ho

$$(i_{\kappa}-i'_{4})+(i_{5}-i_{7})=(i_{\kappa}-i_{7})-(i'_{4}-i_{6}),$$
 (a)

$$i_{\kappa} = i_5 + \gamma_m q_1 \,, \tag{B}$$

где q_1 — тепловыделение в топке на н m^3 воздуха. Из теплового баланса воздухоподогревателя

$$i_4' - i_6 = i_8 - i_2 = (i_4 - i_2) - (i_4 - i_8).$$
 (c)

Повышение температуры от t_8 до t_4 получается за счет сжигания топлива в камере сгорания, т. е. тепловыделении при $p \equiv idem$,

$$i_4 - i_8 = q_2, \tag{d}$$

где q_2 — тепловыделение в камере сгорания на $\mathit{нм}^3$ воздуха, засасываемого компрессором. Учитывая, кроме того, что

$$(i_4-i_2)-(i_5-i_1)=\frac{AL_m}{1-w}\left(\frac{1}{\eta_{MK}}-w\,\eta_{MM}\right), \qquad (e)$$

получим

$$AL = \eta_{le}^{n} \left(\gamma_{lKY} q_{1} + q_{2} \right) + AL_{m} \left[1 - \frac{\eta_{le}^{n} \left(\frac{1}{\gamma_{lMK}} - w \gamma_{lMm} \right)}{1 - w} \right]$$

$$(21)$$

Для определения КПД установки имеем

$$\gamma_1 = \frac{AL}{q_1 + q_2} \,. \tag{22}$$

Первая скобка в правой части (21) представляет собою выделенное в установке тепло на им³ воздуха. Стремление уменьшить потери с уходящими газами заставляет добиваться использования по возможности всего кислорода воздуха. Если часть кислорода будет израсходованы в камере сгорания перед турбиной, то соответственно уменьшится тепловыделение в топке. Практически это поведет к тому, что сумма

$$q_1 + q_2$$

будет мало меняться при изменении ее слагаемых. Учитывая это, мы получим прежнюю формулу для условия максимума AL

$$x = \sqrt{\frac{T_4}{T_1}} \frac{T_{0e} \eta_{a\theta}}{\eta_{oe} \eta_{a\theta}} \frac{1 - \frac{\eta_{te}^n}{\eta_{mm}}}{1 - \eta_{te}^n \eta_{m\kappa}}, \tag{17}$$

где

$$X = \left(\frac{p_2}{p_1}\right)^{\frac{\kappa - 1}{\kappa}}.$$
 (f)

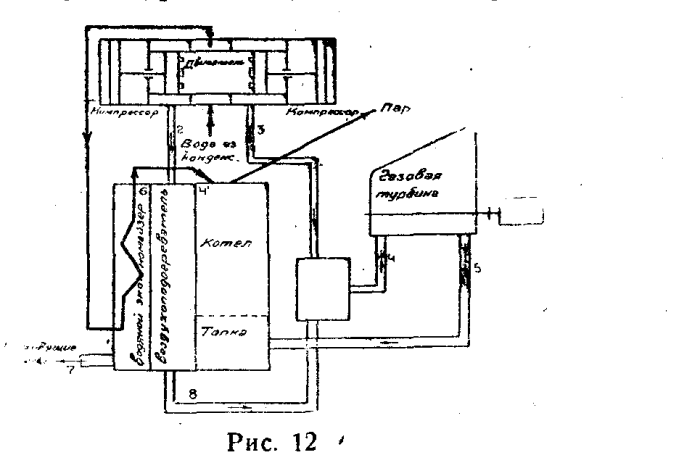
Учитывая все это, приходим к заключению, что подсчеты по соотношениям (21) и (22) должны дать результаты, не отличающиеся от тех, что были получены без сжигания топлива в камере сгорания. Так, если температура газа перед турбиной будет доведена за счет горения топлива в камере сгорания до 600°С, то согласно подсчетам, результаты которых приведены на рис. 7 и 9, экономия в расходе топлива составит 13—60/0 при хороших показателях компрессорно-турбинной группы ($\eta_{MM} = \eta_{MK} = 0.98$; $\eta_{oe}^{m} = 0.85$, $\eta_{a\partial} = 0.80$) до 9—4%—при плохих ($\eta_{MM} = \eta_{MK} = 0.95$; $\eta_{oe}^{m} = 0.80$, $\eta_{a\partial} = 0.75$). При этом расход топлива к камере сгорания, если считать, что подогрев воздуха в воздухоподогревателе дал $t_8 = 500$ °С, составит 5—8% от общего расхода, считая по тепловыделению или в единицах условного топлива.

5

Значительное увеличение отдачи теплового двигателя может быть достигнуто рациональным совмещением двигателя внутреннего сгорания и паровой установки. Выгода в этой совместной работе получается потому, что в этих двигателях используются различные температурные интервалы. Может получиться установка, отдача которой выше, чем каждой составной части. Учитывая, с другой стороны, что в современной установке должны применяться ротационные двигатели, представляется рациональной схема установки, приведенная на рис. 12. Двухтактный поршневой двигатель внутреннего сгорания с плавающими поршнями работает непосредственно на компрессор. Продувка двигателя производится сжатым воздухом, для чего отводится часть его. Основная часть сжатого воздуха после компрессора подогревается в воздухоподогревателе за счет тепла отходящего из котла газов. После смещения этого воздуха с продувочным воздухом и продуктами сгорания двигателя он поступает в газовую турбину и, после расширения, в топку котла. В топке сжигается обычное топливо.

Процесс установки с газовой стороны нанесен в тепловых (TS) коор динатах на рис. 13. 1—2—линия сжатия воздуха в компрессоре. Дальнейшее сжатие 2—а идет внутри цилиндра двигателя.

Рабочий процесс двигателя определяется родом топлива и другими обычными обстоятельствами. Состояние продуктов сгорания после расширения в двигателе и смешения с продувочным воздухом показано точкой 3. Подогрев сжатого воздуха после компрессора происходит в процессе 2—8, газы охлаждаются в воздухоподогревателе от 4' до 6. Состояние газа перед турбиной (смесь подогретого воздуха и продуктов сгорания с



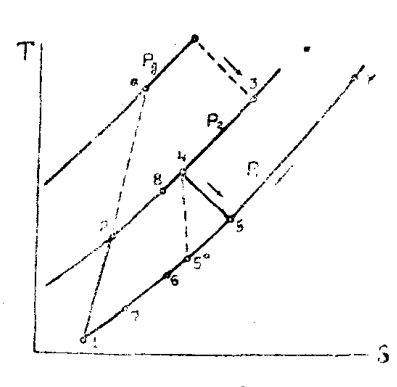


Рис. 13

продувочным воздухом) показано точкой 4. Точка 5 изображает состояние газа (воздуха) при подаче его в топку котла. Точка K изображает условное состояние продуктов сгорания в топке котла (при адиабатическом сгорании топлива). Отдача тепла от газов в котле идет в процессе K-4' и в водяном экономайзере—в процессе 6—7. Конденсат из конденсатора паровой турбины пропускается через рубашку двигателя.

6

Расчет работы установки проведен на *нм*³ воздуха, работающего в двигателе. Влиянием изменения энтальпии вследствие изменения химсостава при горении пренебрегается. Тогда

$$AL = AL_{me} + \eta_{te}^{n} \{ \beta \left[(i_{\kappa} - i_{4}') + (i_{6} - i_{7}) - \Sigma \pi_{\kappa} \right] + q_{ox.s} \}.$$
 (23)

Здесь, кроме обозначений, приведенных ранее,

 β — производительность компрессора в μM^3 на μM^3 воздуха внутри двигателя,

 q_{oxa} — тепло охлаждения двигателя.

Если рассчитывать на неохлаждаемый компрессор и пренебрегать потерями двигателя и компрессора в внешнюю среду, то баланс энергии двигатель компрессор будет

$$AL_{\partial} = \beta \ (i_2 - i_1), \tag{a}$$

где AL_{∂} — эффективная работа двигателя на μM^3 воздуха. Следовательно,

$$\beta = \frac{AL_{\theta}}{i_2 - i_1} \,. \tag{24}$$

С другой стороны,

$$AL_{\theta} = (\xi - r) \eta_{oi}^{\theta} \eta_{\mu}^{\theta} \eta_{t}^{\theta} q_{2}, \tag{25}$$

где 5— коэффициент тепловыделения двигателя, оценивающий потери хнмического и механического недожогов, r — отдача тепла в охлаждающую воду в процессе горения и расширения в % от теоретического тепловыделения,

η, — термический КПД цикла двигателя.

Можно считать

$$\eta_t^o = 1 - \frac{R}{X_o}, \tag{8}$$

причем В в зависимости от характера цикла

$$B \gg 1$$
 (c)

H

$$x_{\partial} \doteq \left(\frac{p_{\partial}}{p_{2}}\right)^{\frac{n-1}{n}},\tag{d}$$

п — показатель адиабаты сжатия (и расширения) в теоретическом цикле двигателя.

Для неохлаждаемого поршневого компрессора можно считать, что вся работа трения переходит в теплоту, которая передается сжимаемому газу, т. е.

$$i_2 - i_1 = \frac{i_{2a} - i_1}{\eta_{MK}} = \frac{i_1}{\eta_{MK}} \left(\frac{i_{2a}}{i_1} - 1 \right)$$
 (e)

В пределах тех изменений температур, что будут иметь место в ком прессоре при сжатии в 1 ступени, можно принять

$$\frac{i_{2a}}{i_{\perp}} = \frac{t_{2a}}{t_{\perp}} \,. \tag{f}$$

Следовательно,

$$i_2 - i_1 = \frac{i_1}{\tau_{\text{LMK}}} \left(\frac{t_{2\alpha}}{t_1} - 1 \right) = \frac{i_1}{t_1} \frac{T_1}{\tau_{\text{LMK}}} (x - 1),$$
 (26)

где

$$x = \left(\frac{p_2}{p_1}\right)^{\frac{K-1}{K}} = \frac{T_{2\alpha}}{T_1}$$
 (g)

Из (24) с учетом (26) и (g) имеем

$$\beta = \frac{AL_{\theta} \ t_1 \ \eta_{MK}}{i_1 \ T_1 \ (x-1)} \tag{27}$$

Работа турбины

$$AL_{me} = \beta \left(i_4 - i_5 \right) \gamma_{l, nm}. \tag{28}$$

Аналогичное преобразование дает

$$AL_{me} = \frac{i_4}{t_4} \frac{t_1}{i_1} \frac{T_4}{T_1} \frac{\gamma_{lam} \gamma_{loe}^m}{x} AL_{o}.$$
 (29)

Величина в квадратных скобках (23) представляет собою тепло, переданное от газов в котле на HM^3 воздуха

$$(i_{\kappa} - i'_{4}) + (i_{6} - i_{7}) - \Sigma \pi_{\kappa} = (i_{\kappa} - i_{1}) - (i_{7} - i_{4}) - \Sigma \pi_{\kappa}.$$
 (h)

Пусть тепловыделение на μm^3 в топке котла будет $q_1 = \frac{\kappa \kappa \alpha n}{\mu m^3}$. Из $\beta \mu m^3$ воздуха, подаваемых компрессором, в двигатель идет $1 \mu m^3$, из которого

для горения используется анм³. Тепловыделение в топке на нм² воздуха, подаваемого компрессором, будет

$$q_{\kappa} = \frac{\beta - \alpha}{\beta} q_{1}, \qquad (i)$$

следовательно,

$$i_{\kappa} = i_5 + \frac{\beta - \alpha}{\beta} q_1 \eta_m \,, \tag{K}$$

а тепло, переданное от газов в котельной установке,

$$\beta \left[(i_{\kappa} - i'_{4}) + (i_{6} - i_{7}) - \Sigma \pi_{\kappa} \right] =$$

$$= \beta \left[\frac{\beta - a}{\beta} \eta_{m} q_{1} - (i_{7} - i_{1}) - \Sigma \pi_{\kappa} - (i_{4} - i_{6}) + (i_{5} - i_{1}) \right] \qquad (1)$$

Первые три члена правой части представляют собою тепло, получившееся от сгорания топлива в топке

$$\frac{\beta-a}{\beta} - \eta_m q_1 - (i_1 - i_1) - \Sigma \pi_{\kappa} = \eta_{\kappa y} \frac{\beta-a}{\beta} - q_1. \tag{m}$$

Для продувки двигателя на $нм^3$ надо подвести (1+b) воздуха в состоянии 2 (рис. 13). Остаток сжатого воздуха подогревается за счет тепла отходящих газов котла, т. е.

$$[\beta - (1+b)] (i_8 - i_2) = \beta (i'_4 - i_6). \tag{30}$$

После этого происходит смешение $[\beta-(1+b)]$ нм³ с энтальпией i_3 и (1+b) нм³ с энтальпией i_3 . Получается β нм³ газа с энтальпией

$$i_4 = \frac{[\beta - (1+b)]i_8 + (1+b)i_3}{\beta}, \tag{31}$$

что, с учетом (30), дает

$$\beta(i_4'-i_5)-\beta(i_5-i_1)=\beta(i_4-i_2)-\beta(i_5-i_1)-(1+b)(i_3-i_2).$$
 (n)

Первые два члена правой части представляют собой (рис. 13) разность внутренних работ турбивы и компрессора. С учетом (24) можно записать

$$\beta(i_4-i_2)-\beta(i_5-i_1)=\frac{AL_{me}}{\eta_{Nm}}-AL_{\partial}. \tag{0}$$

Последний член правой части (n) дает тепло, которое может быть выделено из отходящих газов двигателя, если их охладить до t_2 , т. е.

$$(1+b) (i_3-i_2)=q'. (32)$$

Из (23) с учетом (l), (m), (n) и (0) имеем

$$AL = AL_{me} + \eta_{te}^{n} \left[\eta_{\kappa y} (\beta - a) q_{1} - \frac{AL_{me}}{\eta_{Mm}} + AL_{\partial} + q' + q_{ox.i} \right] .$$
 (p)

Но из теплового баланса двигателя

$$\xi q_2 = AL_0 + q' + q_{oxa}, \tag{33}$$

следовательно.

$$AL = AL_{me} + \eta_{le}^{n} \left[\eta_{\kappa y} \left(\beta - a \right) q_{1} - \frac{AL_{me}}{\eta_{Mm}} + \xi q_{2} \right]. \tag{34}$$

Коэффициент полезного действия установки подсчитается по соотношению

$$\gamma_i = \frac{AL}{(\beta - a)\,q_1 + q_2} \tag{35}$$

Из величин, которые необходимо подсчитать предварительно, чтобы произвести расчеты по соотношениям (34) и (35), следует остановиться на определении состояния газа перед турбиной (t_4 или t_4). Эта величина необходима для подсчета работы турбины AL_{ms} по (28)или (29).

Если задать температуру отходящих из котла газов, направляемых в воздухоподогреватель (t_i' или i_i'), то можно наметить температуру воздухоподогрева (t_i' или t_i'), учтя практически необходимую разность температур на горячем конце воздухоподогревателя

$$t_s = t_4' - \Delta t. \tag{36}$$

С другой стороны, из (31) и (32) имеем:

$$i_4 = \frac{[\beta - (1+b)]i_8 + q' + (1+b)i_2}{\beta}, \qquad (37)$$

причем i_2 определяется из (26), а q' — из (33).

Определив величину энтальпии i_4 , а по ней температуру t_4 , надлежит оценить, допустима ли эта температура для лопаточного аппарата турбины. Если она окажется недопустимо высокой, то надо задаться максимально допустимой температурой t_4 , а затем из (37) подсчитать соответственную температуру или энтальпию воздухоподогрева.

Для проведения всех указанных расчетов необходимо задаться давлением сжатого воздуха p_2 , что позволит подсчитать

$$X = \left(\frac{p_2}{p_1}\right)^{\frac{\kappa - 1}{\kappa}} \tag{a}$$

На первый взгляд выбор p_2 кажется произвольным. В действительности же здесь так много ограничивающих моментов, что вряд ли будет иметься какой-либо произвол. Прежде всего, очевидно,

$$1 < p_2 < p_{\partial}$$

где p_{∂} — конечное давление сжатия в цилиндре двигателя. С увеличением p_2 будет уменьшаться β , следовательно, все больше тепла относительно выделяется в двигателе и меньше в топке котла. Одновременно будет возрастать общий КПД установки, но возрастает также расход топлива двигателя. Обычно это топливо более дорогое и дефицитное, чем топливо, сжигаемое в топке котла. В большинстве случаев, таким образом, максимальное давление сжатия будет определяться наличием топлива для двигателя. Чем его больше, тем выше можно взять давление сжатия воздуха и больше будет общий КПД установки.

8

Конкретное представление о результатах работы установки может быть получено путем сравнения результатов ряда подсчетов. Результаты всех этих вычислений даны на рис. 14—17.

На рис. 14 и 15 даны результаты подсчетов для установки с дизель-компрессором. При расчете было принято:

общая степень сжатия в двигателе $\varepsilon = 20$;

коэффициент тепловыделения в двигателе $\xi = 0.95$;

коэффициент потери тепла в охлаждающую воду [6] r = 0.15;

ноказатель адиабаты в двигателе n = 1.38;

•тносительный внутренний КПД двигателя $au_{i_{\overline{i}\overline{i}\overline{i}}} = 0.80;$

механический КПД двигателя (отсутствует шатунно-кривошипный механизм) $\eta = 0.90$;

механический КПД компрессора $\eta_{MK} = 0.90$;

температура газов перед турбиной не свыше $t_4 = 600^{\circ}$ С;

эффективный относительный КПД турбины $\eta_{oe}^m = 0.85$;

механический КПД турбины $\eta_{\mathit{иm}} = 0.98$;

КПД котельной установки $\eta_{\kappa\nu} = 0.85$.

Тепловыделение на нм³:

- а) в двигателе $q_2 = 488 \frac{\kappa \kappa a \Lambda}{\mu M^3}$, чему соответствует избыток воздуха в двигателе ~ 1.8 ,
 - б) в топке $q_1 = 600 \frac{\kappa \kappa a A}{\mu M^3}$

Прямые рис. 14 дают значения КПД установки при различных степенях сжатия в компрессоре $\frac{p_2}{p_1}$ и соответственных разных значениях отно-

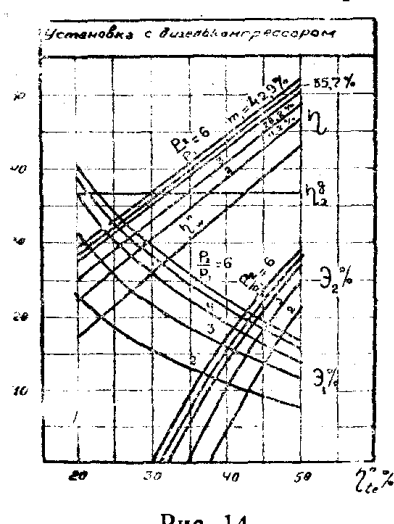


Рис. 14

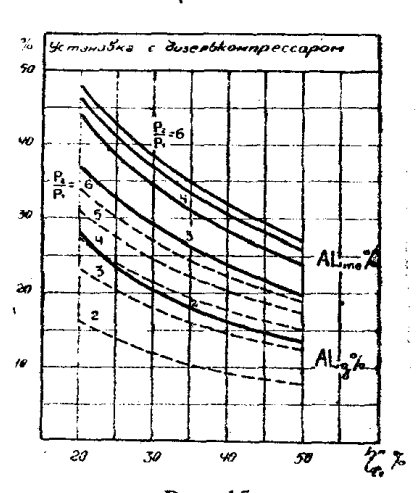


Рис. 15

сительного тепловыделения в двигателе m_1 , надписанных на прямых, в функции от эффективной термической степени совершенства паровой части установки η_{te}^n . Величина отдачи установки увеличивается с ростом η_{te}^n и увеличением давления сжатия воздуха в компрессоре. Для сравнения прямая с надписью η_{te}^n дает эффективную отдачу обычной паросиловой установки.

Весьма показательными являются результаты подсчета экономии в удельном расходе тепла на единицу мощности по сравнению с обычной паросиловой установкой $\partial_1^{-0}/_0$. В обычных пределах отдачи паросиловой установки $20-35^0/_0$ эта экономия достигает:

При сжатии воздуха до 2
$$ama$$
 и $m_1 = 11.2^{\circ}/_{0}$, $\partial_1 = 20 - 11^{\circ}/_{0}$, $g_1 = 27 - 16^{\circ}/_{0}$.

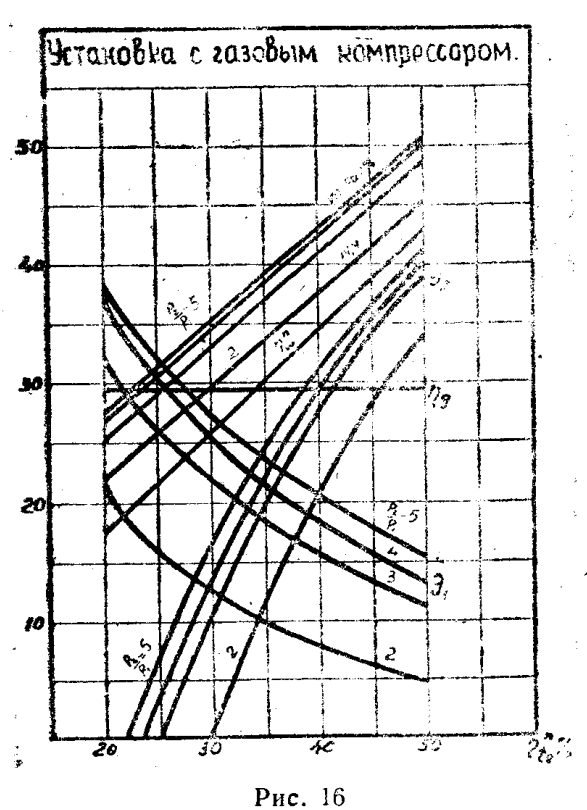
Кривые с надписью ∂_2 дают экономию в удельном расходе тепла в рассматриваемой установке по сравнению с двигателем внутреннего сгорания. Так, при $\eta_w^n = 0.35$ и $\frac{p_2}{p_1} = 2$ данная установка расходует на единицу мощности на 5^0 0 меньше тепла, чем в двигателе Дизеля, а при

 $\frac{p_2}{p_1} = 3$ — на $10^0/_0$, хотя расход тепла в жидком топливе составляет всего $11.2 - 28.2^0/_0$ от полного расхода тепла в топливе.

На рис. 15 для этих же условий нанесены результаты подсчетов мощности газовой турбины в долях от общей мощности установки ($AL_{me}^{0}/_{0}$) и мощности, генерируемой в двигателе ($AL_{\partial}^{0}/_{0}$). Соответственные значения будут

При
$$\frac{p_2}{p_1} = 2$$
 . . . $AL_{me^0/0} = 25 - 16^0/_0$, $AL_{\partial^0/0} = 15 - 9^0/_0$, при $\frac{p_2}{p_2} = 3$. . . $AL_{me^0/0} = 34 - 24^0/_0$, $AL_{\partial^0/0} = 22 - 14^0/_0$.

Дизель-компрессор прямого действия представляет собою, бдагодаря



отсутствию шатунно-кривошилного механизма, относительно простую машину, которую можно осуществить достаточно быстроходной. Если судить по приведенным выше значениям AL_{∂} , нельзя ожидать особых затруднений при осуществлении значительных мощностей установки.

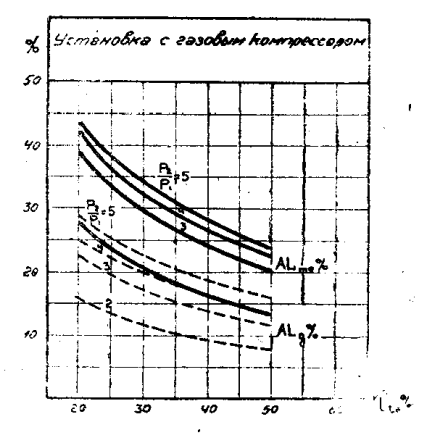


Рис. 17

Еще более интересными являются результаты подсчетов для установки с прямодействующим газовым компрессором, представленные на рис. 16 и 17. В двигателе предполагается сжигание доменного газа с тепловыделением 475 $\frac{\kappa \kappa a \Lambda}{\kappa m^3}$, что соответствует коэффициенту избытка

воздуха ~ 2 . Общая степень сжатия в двигателе принята $\epsilon = 8.0$, внутренний КПД двигателя $\eta_{oi}^{\partial} = 0.75$. Остальные величины взяты те же, что в предыдущем примере.

Из рис. 16 видно, что общая экономия в удельном расходе тепла при экономических КПД паровой части 25—35% составляет:

При
$$\frac{p_2}{p_1} = 2$$
, $m_1 = 14.4^{\circ}/_{\circ}$, $\theta_1 = 18 - 8^{\circ}/_{\circ}$,

при
$$\frac{p_v}{p_1} = 3$$
, $m_1 = 27^{\circ}/\circ$, $\theta_1 = 28 - 16^{\circ}/_{\circ}$.

Характерно, что при этом имеет место значительная экономия в удельном расходе тепла по сравнению с газовым двигателем ($\partial_2{}^0/_0$), доходящая до $20^0/_0$ при $\frac{p_2}{r}=2$ и 27 % при $\frac{p_2}{r}=3$.

Данные рис. 17 показывают, что мощность газовой турбины и двигателя лежит в умеренных, доступных выполнению пределах.

9

Сопоставление приведенных выше подсчетов, сведенных в табл. 1, позволяет сделать некоторые общие заключения.

Таблица 1

Характеристика установки	Экономия в удельном рас- ходе топлива	Примечание	
Паросиловая установка с компрессорно-турбивной группой и воздухоподогревом в 500°С Паросиловая установка с компрессорно турбинной группой, тепловыделение в 5—8% в ка-	9-40/0	Сопоставление проведен при экономических КПД паросиловой установки 20—35%	
мере сгорания и температура перед турби- вой в 600°С	13-6º/a	Топливо газовой тур- бины и двигателя— доме н ный газ.	
газовым компрессором при относительном расходе тенла в двигателе в $14.49/_0$	$\frac{18-80}{28-160}$		

Во многих современных крупных металлургических и химических комбинатах имеется возможность потребления в котельной небольшого количества газа—отброса основного производства. В этих случаях можно не только заменить газом некоторую часть топлива котельной, но добиться весьма заметной экономии в общем расходе топлива или соответственного увеличения вызываемой станцией комбината мощности. Так, на одном металлургическом комбинате среднее потребление топлива за месян (по данным за январь—июнь) составляло:

Таблица 2

Наименование топлива	Камен. уголь	Коксов. мелочь	Домен. газ	Коксов.	Мазут
Расход в тоннах или тыс. им ³ Теплотворная способность в ккал/кг	40820	8376	67711	1214	358
или ккал/нма	6280	6240	940	4222	1.0.470
Проц. расхода в долях условного гоплива	67.8	13.8	16.8	1.6	

При подсчете расхода топлива в проц. по условному топливу мазут выкинут из баланса топлива, так как он шел на растопку и в аварийных случаях. Количество коксового газа весьма мало и подача его идет нерегулярно. Поэтому трудно представить иное его применение, как сжигание в топке непосредственно. Если предположить установку с прямодействующим газовым компрессором, то при сжатии воздуха $p_2 = 2$ ата тепловыделение в двигателе должно составлять 14.4% от общего (табл. 1

и рис. 16). На ТЭЦ рассматриваемого комбината вырабатывался пар с давлением p = 30 ama. При чисто конденсационной установке экономический КПД станции вряд ли будет выше 25%. Учитывая выработку теплофикационного пара, примем экономическую степень совершенства [3] ~ 30°/о. Согласно рис. 16 экономия в удельном расходе тепла составит при этом 10°/о. Если считать, что потребление газа и коксовой мелочи останется неизменным, то расход каменного угля уменьшится на $6070 - m\kappa$ или на $15^{\circ}/_{0}$. месяц

Интересно отметить, что по данным табл. 1 заметная экономия в расходе топлива получается при относительно небольшом расходе газообразного топлива. Это ставит в совершенно иное положение, чем обычно, вопрос о возможности применения газогенераторов на ЦЭС и ТЭЦ.

С другой стороны, надлежит учесть также некоторые моменты, учет жоторых может несколько снизить ожидаемый эффект по сравнению с рассчитанными выше цифрами. Так, в нашем расчете, как предварительном, не учитывалось влияние изменения химического состава газа при горении на его энтальпию, не совсем точно учитывалось влияние присосов воздуха в котельной установке и т. п. При очень высоких степенях совершенства паросиловой части ($\eta_w^n = 35 - 40^{\circ}/_{o}$) получение рассчитанной выше экономии в расходе тепла полностью может оказаться невозможным, так как приведенные приемы несколько ограничивают возможность применения регенерации в паровой части. Детального рассмотрения требуют также вопросы регулирования установки, хотя принципиально этот вопрос сомнений не вызывает [1].

ЦИТИРОВАННАЯ ЛИТЕРАТУРА

- 1. Вайсман, Вар шавский-Пути современного использования двигателей внутреннего сгорания как генераторов рабочего тела. Журнал технической физики, вып. 23-24,
- 2. Рамзин—Прямоточный котел Рамзина и перспективы применения пара высокого давления в СССР. Известия Академии Наук СССР. Отдел. тех. наук № 1—2, 1944.

3. Фукс-Термодинамическая оценка степени совершенства теплосиловой установки Диссертация, Томск, 1941.

4. Фукс, Новиков — Тепловой расчет котла Велокс. Известия Томского ордена

Трудового Красного Знамени политехнического ин-та, т. 59, вып. 2. 5. Stodola.—Load Tests of a Combustion Turbine. Power, 1910.

6. Pescara-La combustion dans les chambres a volume variable. Chaleur et Industrie, 1939, Janvier.